

# PROJET : Simulation du modèle de Lundberg



## Ruine en Assurance



Groupe 2 – MF01

ZIRIHI YANNICK

KOUROUMA ABOUBACAR

EL KASMI ADNANE

### ■ Introduction :

La théorie de la ruine appartient aux sciences de la gestion des risques et aux mathématiques appliquées à l'assurance. Il s'agit de l'étude mathématique de modèles stochastiques et dynamiques adaptés aux réserves financières allouées à un portefeuille de contrats d'assurance de type non-vie d'une compagnie d'assurance. Assurance de type IARD (Incendie, Accidents et Risques Divers).

L'objectif est de définir un cadre permettant la bonne gestion d'un portefeuille de contrat. On imagine une compagnie d'assurance qui se lance sur un nouveau marché, le business line doit être :

- ✓ Viable, la compagnie doit être solvable à tout instant (la réserve ne doit pas tomber en dessous de 0). Elle doit être en mesure de faire face aux engagements qu'elle a pris vis à vis des assurés par voie contractuelle.
- ✓ Rentable, la tarification doit permettre à l'assureur d'engranger des bénéfices pour rémunérer les actionnaires et les employés.

L'étude des processus aléatoires s'insère dans la théorie des probabilités dont elle constitue l'un des objectifs les plus profonds. Elle soulève des problèmes mathématiques intéressants et souvent très difficiles. Ce projet présente quelques aspects des processus aléatoires utiles à l'ingénieur mathématicien du fait de leur fréquence d'occurrence dans les applications : processus de renouvellement, processus de Markov, mouvement brownien etc.

## 1. Livrable 2:

### 1.1 Activité 1. Simulation Monte-Carlo:

Dans cette activité

1. Nous simulons l'évolution de la réserve de la compagnie d'assurance  $R_t$ .

Nous étudions les effets des sinistres modélisés par v.a. Gamma (de queue fine) et de par v.a. Pareto (de queue lourde).

**# Réponse :**

Commençons d'abord par simuler la réserve  $R_t$  à queues fines et à queues lourde :

- Algorithme de simulation de  $R_t$  à queues fines :

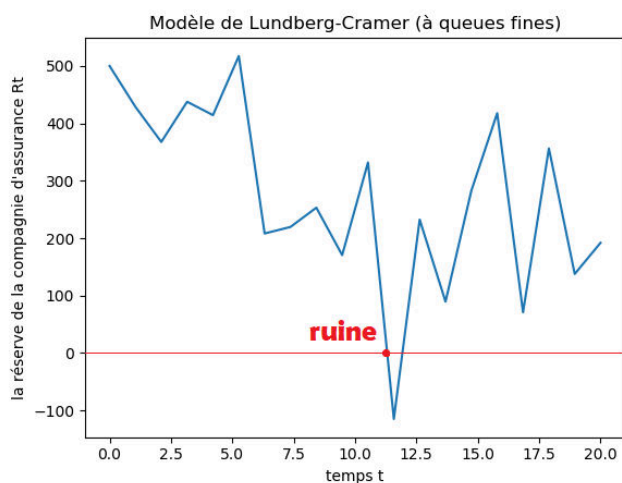
```
• function[Rt] = Rt_fines(c, x, λ, α, β, t)
  ○  $N_t = V\_A\_Poisson\_Compose(\lambda, t)$ 
  ○  $X = 0$ 
  ○ for  $k = 1:N_t$ 
    ○  $Z_k = V\_A\_Gamma(\alpha, \beta)$ 
    ○  $X = X + Z_k$ 
  ○ endfor
  ○ set  $Rt = x + c \cdot t - X$ 
• endfunction
```

- Algorithme de simulation de  $R_t$  à queues lourde :

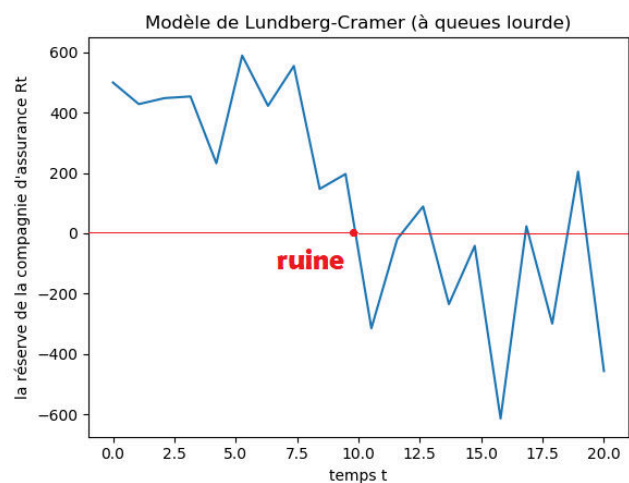
```
• function[Rt] = Rt_lourde(c, x, λ, a, b, t)
  ○  $N_t = V\_A\_Poisson\_Compose(\lambda, t)$ 
  ○  $X = 0$ 
  ○ for  $k = 1:N_t$ 
    ○  $Z_k = V\_A\_Pareto(a, b)$ 
    ○  $X = X + Z_k$ 
  ○ endfor
  ○ set  $Rt = x + c \cdot t - X$ 
• endfunction
```

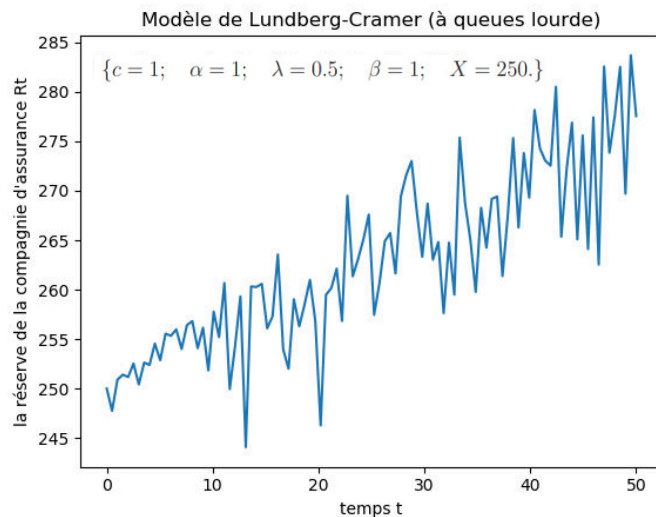
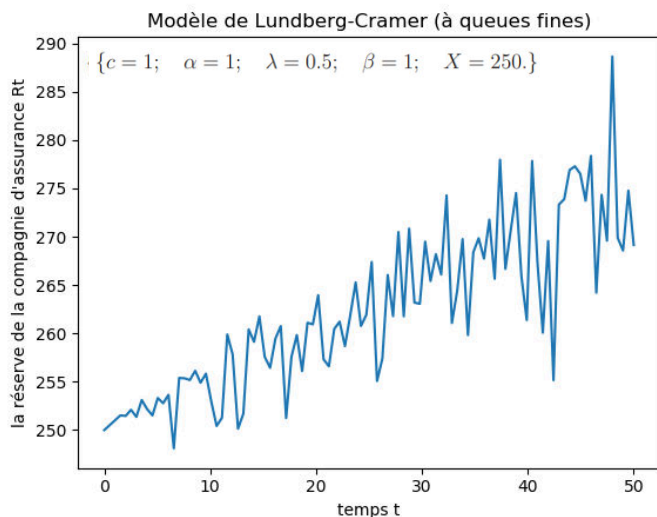
Après la simulation on obtient ces graphes :

**{c = 100; α = 8; λ = 6; β = 2.5; X = 500.}**



**{c = 100; a = 2; λ = 7; b = 10; X = 500.}**





(Codes Python : voir annexe 1)

2. Nous estimons la probabilité de ruine au bout d'un an (horizon fini) pour les deux jeux de paramètres.

**# Réponse :**

On se propose de calculer la probabilité de ruine au bout d'un an  $T = 1$ ans (horizon fini), pour les jeux de paramètres  $\{c = 100, x = 50, T = 1, \lambda = 6, \alpha = 8, \beta = 2.5\}$  pour  $N_{mc} = 10^6$

Et  $\{c = 1, x = 250, T = 1, \lambda = 0.5, \alpha = 1, \beta = 1\}$  pour  $N_{mc} = 10^6$  c'est-à-dire le calcul de :

$$P(R_T < 0 \mid R(0) = x)$$

Donc il faut simuler :  $P(X_T > a)$  avec  $a = x + c.T$

On simule  $N_{mc}$  réalisation de  $\{X_1, X_2, \dots, X_{N_{mc}}\}$ , on compte celles  $n_a$  qui sont supérieurs strictement à  $a$ , on calcule  $P = \frac{n_a}{N_{mc}}$  et on a :  $P(X_T > a) = E[1_{\{X_T > a\}}] = \frac{1}{N_{mc}} \sum_{n=1}^{N_{mc}} 1_{\{X_T(n) > a\}}$  avec  $N_{mc} = 10^6$

• Algorithme de simulation de  $X_T$  à queues fines :

```

• function[X] = V_A_X(c, x, λ, T, α, β)
  ○  $N_T = V\_A\_Poisson\_Compose(\lambda, T)$ 
  ○  $X = 0$ 
  ○ for k = 1:  $N_T$ 
    ○  $Z_k = V\_A\_Gamma(\alpha, \beta)$ 
    ○  $X = X + Z_k$ 
  ○ endfor
  ○ set X
• endfunction

```

• Algorithme de simulation de  $X_T$  à queues lourde :

```

• function[X] = V_A_X(c, x, λ, T, α, β)
  ○  $N_T = V\_A\_Poisson\_Compose(\lambda, T)$ 
  ○  $X = 0$ 
  ○ for k = 1:  $N_T$ 
    ○  $Z_k = V\_A\_Pareto(\alpha, \beta)$ 
    ○  $X = X + Z_k$ 
  ○ endfor
  ○ set X
• endfunction

```

- Algorithme de simulation de Probabilité de ruine :

```

• function[Proba] = Proba_Ruine(c,x,λ,T,α,β)
  ◦ Counter = 0 ,      a = x + c.T
  ◦ for n = 1:Nmc
    ◦ X(n) = V_A_X(c,x,λ,T,α,β)
    ◦ if X(n) > a
      ◦ Counter = Counter + 1
    ◦ endif
  ◦ endfor
  ◦ set Proba =  $\frac{\text{Counter}}{N_{mc}}$ 
• endfunction

```

(Codes Python : voir annexe 2)

Pour : {  $c = 100$ ,  $x = 50$ ,  $T = 1$ ,  $\lambda = 6$ ,  $\alpha = 8$ ,  $\beta = 2.5$  } pour  $N_{mc} = 10^6$  on trouve :

```

>>> Proba_ruine_fines(100,50,1,6,8,2.5,1000000)
0.264787

>>> Proba_ruine_lourde(100,50,1,6,8,2.5,1000000)
0.0

```

Pour : {  $c = 1$ ,  $x = 250$ ,  $T = 1$ ,  $\lambda = 0.5$ ,  $\alpha = 1$ ,  $\beta = 1$  } pour  $N_{mc} = 10^6$  on trouve :

```

>>> Proba_ruine_fines(1,250,1,0.5,1,1,1000000)
0.0

>>> Proba_ruine_lourde(1,250,1,0.5,1,1,1000000)
0.0

```

Ces résultats sont cohérents puisque la probabilité de ruine est parfois  $10^{-30}$  ce qui traduit la valeur 0 dans certains calculs, mais on a réussi à avoir une probabilité de ruine 20% pour les premiers jeux de valeurs à queues fines.

3. Nous estimons la probabilité de ruine et le temps de la ruine (horizon infini) pour des deux jeux de paramètres que nous choisissons nous-même.

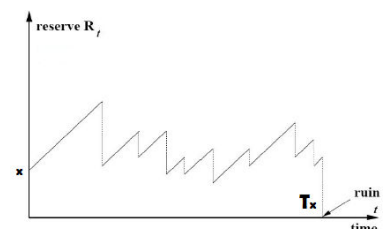
# Réponse :

La probabilité de ruine ultime ou probabilité de ruine à horizon de temps infini, notée  $\psi$ , est définie par :

$$\psi(x) = P(\inf_{t \geq 0} R(t) < 0 \mid R(0) = x)$$

Et l'instant de la ruine est :  $T_x = \inf\{t > 0, R(t) < 0\}$ .

On représente l'évolution de la réserve  $R(t)$  en fonction du temps  $t$  :



Il faut donc récupérer l'instant de la ruine  $T_x$  puis calculer la probabilité de la ruine à cet instant (remplacer  $T = 1$ ans de la question 2 Par  $T = T_x$ ) :

• Algorithme de simulation de  $T_x$  à queues fines :

```

• function[ $t$ ] =  $Tx\_fines(c, x, \lambda, \alpha, \beta, \Delta)$ 
  ○  $R_t = Rt\_fines(c, x, \lambda, \alpha, \beta, t)$ 
  ○  $t = 0$ 
  ○ while  $R_T > 0$ 
    ○  $t = t + \Delta$ 
  ○ endwhile
  ○ set  $t$ 
• endfunction

```

• Algorithme de simulation de  $T_x$  à queues lourde :

```

• function[ $t$ ] =  $Tx\_lourde(c, x, \lambda, \alpha, \beta, \Delta)$ 
  ○  $R_t = Rt\_lourde(c, x, \lambda, \alpha, \beta, t)$ 
  ○  $t = 0$ 
  ○ while  $R_T > 0$ 
    ○  $t = t + \Delta$ 
  ○ endwhile
  ○ set  $t$ 
• endfunction

```

(Codes Python : voir annexe 3)

Pour les jeux de paramètres  $\{ c = 100, x = 50, \lambda = 6, \alpha = 8, \beta = 2.5 \}$  on obtient avec  $\Delta = 0.01$  :

```

>>> Tx=Tx_fines(50,100,6,8,2.5,0.01)

>>> Tx
0.32000000000000001

```

Et la probabilité de ruine pour l'instant  $T_x$  pour  $N_{mc} = 10^6$  on trouve :

```

>>> Tx=Tx_fines(50,100,6,8,2.5,0.01)

>>> Tx
0.32000000000000001

>>> Proba_ruine_fines(50,100,Tx,6,8,2.5,1000000)
0.015125

```

4. Nous étudions la méthode de changement de l'espace de probabilité et la transformation d'Esscher.

**# Réponse :**

On remarque que cette probabilité de ruine est très petite alors on obtient avec la simulation  $P(X_T > a) = 0$  ce qui est tout à fait normale car parfois  $P(X_T > a) \approx 10^{-30}$

➔ **Solution :** Pour pouvoir calculer cette probabilité par Monte-Carlo on génère dans l'espace  $(\Omega, F_T, Q)$  de probabilité les sinistres avec l'intensité  $\lambda^Q$  beaucoup plus élevé que  $\lambda$  ce qui permet de compter  $1_{\{X_T^Q > a\}}$ . Cependant pour compenser cette valeur élevée on ajoute un coefficient de passage  $L_T$  dont la valeur est très petite :

$$P(X_T > a) = E_P[1_{\{X_T > a\}}] = E_Q \left[ 1_{\{X_T^Q > a\}} \cdot L_T \right] = E_Q \left[ 1_{\{X_T^Q > a\}} \cdot e^{-\theta \cdot X_T^Q + \Gamma(\theta)} \right]$$

Par Monte-Carlo :

$$P(X_T > a) = \frac{1}{N_{mc}} \sum_{n=1}^{N_{mc}} 1_{\{X_T^Q(n) > a\}} \cdot e^{-\theta \cdot X_T^Q(n) + \Gamma(\theta)}$$

D'après l'étude mathématique du livrable 2 on a :

$$Z_k^Q \sim \text{Gamma}(\alpha, \beta - \theta), \quad \theta = \beta - \beta \left( \frac{\beta \cdot (x + c \cdot T)}{\alpha \lambda T} \right)^{\frac{-1}{\alpha+1}}, \quad \Gamma(\theta) = \lambda T \left( \left( \frac{\beta}{\beta - \theta} \right)^\alpha - 1 \right) \text{ et } \lambda^Q = \lambda \cdot \left( \frac{\beta}{\beta - \theta} \right)^\alpha$$

5. Nous simulons une ruine rare

### # Réponse :

On veut simuler la probabilité de ruine d'une ruine rare pour les jeux de paramètres :

{  $c = 100$ ,  $x = 50$ ,  $T = 1$ ,  $\lambda = 7$ ,  $\alpha = 4$ ,  $\beta = 1.5$  } Pour  $N_{mc} = 10^2$ , normalement si on calcule cette probabilité avec la simulation de Monte-Carlo naïf on obtient une probabilité nulle :

```
>>> Proba_ruine_fines(100,50,1,7,4,1.5,100)
0.0
```

Mais avec la transformation d'Esscher on va obtenir une valeur non nulle. Donc on va simuler la probabilité de la ruine par Importance Sampling :

• Algorithme de simulation de  $X_T^Q$  :

```
• function[X] = V_A_X_Q(c, x, λ, T, α, β)
    ◦ θ = β - β * (β * (x + c * T) / (α * λ * T))^(1/(α+1))
    ◦ λ^Q = λ * (β / (β - θ))^α
    ◦ N_T = V_A_Poisson_Compose(λ^Q, T)
    ◦ X = 0
    ◦ for k = 1:N_T
        ◦ Z_k^Q = V_A_Gamma(α, β - θ)
        ◦ X = X + Z_k^Q
    ◦ endfor
    ◦ set X
• endfunction
```

• Algorithme de simulation de Probabilité de ruine Q:

```
• function[Proba] = Proba_Ruine_Q(c, x, λ, T, α, β)
    ◦ θ = β - β * (β * (x + c * T) / (α * λ * T))^(1/(α+1))
    ◦ Γ(θ) = λ * T * ((β / (β - θ))^α - 1)
    ◦ Counter = 0, a = x + c * T
    ◦ for n = 1:N_mc
        ◦ X^Q(n) = V_A_X_Q(c, x, λ, T, α, β)
        ◦ if X^Q(n) > a
            ◦ Counter = Counter + e^(-θ * X^Q(n) + Γ(θ))
        ◦ endif
    ◦ endfor
    ◦ set Proba = Counter / N_mc
• endfunction
```

(Codes Python : voir annexe 4)

On applique cette méthode pour les jeux de paramètres précédents dont on a trouvé que la probabilité de ruine est nulle par la méthode Monte-Carlo naïf et on trouve :

```
>>> Proba_ruine_Q(100,50,1,7,4,1.5,100)
1.454670783095162e-22
```

Donc on a trouvé que  $P(X_T > a) = 1,45 \cdot 10^{-22}$  ce qui est impossible d'obtenir avec Monte-Carlo naïf.

6. Finalement nous étudions le mécanisme de fonctionnement de compagnie diversifiée.

### # Réponse :

On suppose que la compagnie étudiée propose des assurances habitations et des assurances automobiles, et qu'une partie des sinistres liés aux risques naturels (Covid-19)  $N_t^{RN}$  touchent à la fois le secteur automobile et habitation. On ajoute des sinistres propres aux habitations  $N_t^H$  et des sinistres propres aux voitures  $N_t^A$  :

$$R_1(t) = x + c \cdot t - \sum_{k=1}^{N_t^{RN}} Z_k^1 - \sum_{k=1}^{N_t^H} Z_k^2 \quad \text{et} \quad R_2(t) = x + c \cdot t - \sum_{k=1}^{N_t^{RN}} Z_k^1 - \sum_{k=1}^{N_t^A} Z_k^3$$

Et

$$R_3(t) = x + c \cdot t - \sum_{k=1}^{N_t^{RN}} Z_k^1 - \sum_{k=1}^{N_t^H} Z_k^2 - \sum_{k=1}^{N_t^A} Z_k^3$$

Avec :

- ⇒  $R_1$  : La réserve de la branche d'assurance d'habitation liée aux risques naturels (Covid-19)
- ⇒  $R_2$  : La réserve de la branche du secteur automobile liée aux risques naturels (Covid-19)
- ⇒  $R_3$  : La réserve des deux branches liées aux risques naturels (Covid-19)

Alors on peut simuler et calculer la probabilité de la ruine de chaque branche et les effets de compensation entre branche, comme on peut déterminer le capital initial dont doit disposer la compagnie pour que sa probabilité de ruine à horizon fini soit inférieure à un seuil et aussi de représenter la distribution de la réserve sachant qu'il y a eu ruine (**on va voir cette étude dans la partie travail à faire partie : Compagnie diversifiée**).

## 1.2 Activité 2. Etudes mathématiques:

Montrons que dans l'espace de probabilité  $(\Omega, F_T, Q)$  sous laquelle  $X_t^Q = \sum_{k=1}^{N_t} Z_k^Q$  est un processus de Poisson composé de caractéristiques suivantes :

- Son intensité est :  $\lambda^Q = \lambda. \mathbb{E}[e^{\theta.Z_1}] = \lambda. \left(\frac{\beta}{\beta-\theta}\right)^\alpha, \quad \theta \in R_+^*$
  - la fonction de densité de  $Z_k^Q$  :  $f_G^Q(y) = f_G(y) \cdot \frac{e^{y\theta}}{E_p[e^{\theta.Z_1}]} = \frac{1}{\Gamma(\alpha)} (\beta - \theta)^\alpha y^{\alpha-1} e^{-(\beta-\theta)y}$
- C'est-à-dire que la loi de  $f_G^Q(y)$  est la loi Gamma de paramètre  $(\alpha, \beta - \theta)$ .
- La dérivée Radon Nikodym :  $\widehat{L}_T = \frac{dQ}{dP} = e^{\theta.X_T - \Gamma(\theta)}$
  - Le coefficient  $\Gamma(\theta)$  :  $\Gamma(\theta) = \ln(E_p[e^{\theta.Z_1}]) = \lambda T \left( \left(\frac{\beta}{\beta-\theta}\right)^\alpha - 1 \right)$
  - Le paramètre optimale :  $\theta = \beta - \beta \left( \frac{\beta.(x+c.T)}{\alpha \lambda T} \right)^{\frac{-1}{\alpha+1}}$

### # Réponse :

Soit la richesse  $R(t) = x + c.t - \sum_{k=1}^{N_t} Z_k = a - X(t)$  avec  $a = x + c.t$  et  $X(t) = \sum_{k=1}^{N_t} Z_k$  le processus de Poisson composé,  $N_t$  suit la loi de Poisson d'intensité  $\lambda$  et  $Z_k$  suit la loi de Gamma  $(\alpha, \beta)$  et sa fonction de densité  $f_G(y) = \frac{1}{\Gamma(\alpha)} \beta^\alpha y^{\alpha-1} e^{-\beta y} \cdot 1_{y>0}$ .

On calcule la fonction caractéristique de  $X_T$  dans l'espace probabilité  $(\Omega, F_T, P)$  et de  $X_t^Q$  dans l'espace probabilité  $(\Omega, F_T, Q)$  et on fait les identifications :

On a :

$$\Phi_{X(T)}(u) = \mathbb{E}_p[e^{iuX(T)}] = \sum_{k=0}^{+\infty} \mathbb{E}_p[e^{iu \sum_{j=1}^{N_T} Z_j} | \{N_T = k\}] \mathbb{P}(N_T = k)$$

par indépendance de  $N_T$  et  $(Z_j)_j$  qui sont indépendants et identiquement distribués:

$$\begin{aligned} \Phi_{X(T)}(u) &= \sum_{k=0}^{+\infty} \mathbb{E}_p[e^{iu \sum_{j=1}^k Z_j}] \mathbb{P}(N_T = k) = \sum_{k=0}^{+\infty} \prod_{j=1}^k \mathbb{E}_p[e^{iu Z_j}] \mathbb{P}(N_T = k) = \sum_{k=0}^{+\infty} (\mathbb{E}_p[e^{iu Z_j}])^k \frac{(\lambda.T)^k}{k!} e^{-\lambda.T} \\ &= e^{\lambda.T(\mathbb{E}_p[e^{iu Z_j}] - 1)} = e^{\lambda.T(\int_{\mathbb{R}} e^{iu y} f_G(y) dy - 1)} = e^{\lambda.T(\int_{\mathbb{R}} (e^{iu y} - 1) f_G(y) dy)} \end{aligned}$$

puisque:  $\int_{\mathbb{R}} f_G(y) dy = 1$ . Donc:  $[\Phi_{X(T)}(u) = e^{\lambda.T \int_{\mathbb{R}} (e^{iu y} - 1) f_G(y) dy}] (*)$

D'autre part:

$$\Phi_{X(T)}^Q(u) = \mathbb{E}_Q[e^{iuX(T)}] = \mathbb{E}_p[e^{iuX(T)} \frac{dQ}{dP}] = \mathbb{E}_p[e^{iuX(T)} \widehat{L}_T] = \mathbb{E}_p[e^{iuX(T)} \cdot e^{\theta.X(T) - \Gamma(\theta)}]$$

or: il est évident par construction que  $\mathbb{E}_p[\widehat{L}_T] = 1$  où  $\widehat{L}_T = e^{\theta.X_T - \Gamma(\theta)}$

donc:  $\mathbb{E}_p[\widehat{L}_T] = \mathbb{E}_p[e^{\theta.X_T - \Gamma(\theta)}] = \mathbb{E}_p[e^{\theta.X_T}] \cdot e^{-\Gamma(\theta)} \Rightarrow e^{\Gamma(\theta)} = \mathbb{E}[e^{\theta.X(T)}]$



Donc:  $\boxed{\Gamma(\theta) = \ln(\mathbb{E}[e^{\theta \cdot X(T)}])}$  d'après la question (4) du livrable (1), on a:

$$\mathbb{E}_p[e^{\theta \cdot X(t)}] = e^{\lambda \cdot t(\mathbb{E}[e^{\theta \cdot Z_1}] - 1)} = e^{\lambda \cdot t((\frac{\beta}{\beta - \theta})^\alpha - 1)} \text{ et par suite:}$$

$$\boxed{\Gamma(\theta) = \lambda \cdot T((\frac{\beta}{\beta - \theta})^\alpha - 1)} \text{ pour } t=T.$$

$$\text{Et donc: } \Phi_{X_{(T)}^Q}(u) = \mathbb{E}_p[e^{(iu+\theta)X(T)}] = e^{\lambda \cdot T(\mathbb{E}[e^{\theta \cdot Z_1}] - 1)}$$

d'après la question (4) du livrable (1):  $\mathbb{E}_p[e^{(iu+\theta)X(t)}] = e^{\lambda \cdot t(\mathbb{E}[e^{(iu+\theta)Z_1}] - 1)}$  donc pour  $t=T$

$$\Phi_{X_{(T)}^Q}(u) = e^{\lambda \cdot T(\mathbb{E}_p[e^{(iu+\theta)Z_1}] - 1)} = e^{\lambda \cdot T(\mathbb{E}_p[e^{\theta \cdot Z_1}] - 1)} = e^{\lambda \cdot T(\mathbb{E}_p[e^{(iu+\theta)Z_1}] - \mathbb{E}_p[e^{\theta \cdot Z_1}])}$$

par linéarité de l'espérance:

$$\Phi_{X_{(T)}^Q}(u) = e^{\lambda \cdot T(\mathbb{E}_p[e^{(iu+\theta)Z_1} - e^{\theta \cdot Z_1}])} = e^{\lambda \cdot T(\mathbb{E}_p[e^{\theta \cdot Z_1}(e^{iuZ_1} - 1)])} = e^{\lambda \cdot T \int_{\mathbb{R}} (e^{iu y} - 1) e^{\theta \cdot y} f_G(y) dy}$$

$$\text{Donc: } [\Phi_{X_{(T)}^Q}(u) = e^{\lambda \cdot T \int_{\mathbb{R}} (e^{iu y} - 1) e^{\theta \cdot y} f_G(y) dy} \quad ] \quad (**)$$

Par identification de (\*) et (\*\*) on trouve:

$$\boxed{\lambda^Q = \lambda \cdot \int_{\mathbb{R}} e^{\theta \cdot y} f_G(y) dy = \lambda \mathbb{E}_p[e^{\theta \cdot Z_1}]}$$

$$\text{et: } \boxed{f_G^Q(y) = \frac{e^{\theta \cdot y} f_G(y)}{\int_{\mathbb{R}} e^{\theta \cdot y} f_G(y) dy} = \frac{e^{\theta \cdot y}}{\mathbb{E}_p[e^{\theta \cdot Z_1}]} \cdot f_G(y)}$$

$$\text{or } \mathbb{E}_p[e^{\theta \cdot Z_1}] = \int_{\mathbb{R}} e^{\theta \cdot y} f_G(y) dy = \int_{\mathbb{R}} e^{\theta \cdot y} \frac{\beta^\alpha}{\Gamma(\alpha)} y^{\alpha-1} e^{-\beta \cdot y} 1_{]0, +\infty[}(y) dy = \int_{\mathbb{R}} \frac{\beta^\alpha}{\Gamma(\alpha)} y^{\alpha-1} e^{-(\beta-\theta)y} dy$$

par un changement de variable  $u = (\beta - \theta)y \Rightarrow du = (\beta - \theta)dy \Rightarrow dy = \frac{du}{(\beta - \theta)}$

$$\mathbb{E}_p[e^{\theta \cdot Z_1}] = \int_0^{+\infty} (\frac{\beta}{\beta - \theta})^\alpha \frac{u^\alpha}{\Gamma(\alpha)} e^{-u y} y^{\alpha-1} dy = (\frac{\beta}{\beta - \theta})^\alpha \frac{\Gamma(\alpha)}{\Gamma(\alpha)} = (\frac{\beta}{\beta - \theta})^\alpha$$

$$\text{Donc: } \forall \theta \in \mathbb{R}_*^+ : \boxed{\lambda^Q = \lambda (\frac{\beta}{\beta - \theta})^\alpha} \text{ et } \boxed{f_G^Q(y) = \frac{1}{\Gamma(\alpha)} (\beta - \theta)^\alpha y^{\alpha-1} e^{-(\beta - \theta)y} 1_{]0, +\infty[}(y)}$$

D'après ce qui précède on a trouvé que:  $\Gamma(\theta) = \lambda \cdot T((\frac{\beta}{\beta - \theta})^\alpha - 1)$

On sait que  $\theta$  est la racine de  $\Gamma'(\theta) = a$  avec  $a = x + cT$

$$\text{On a: } \Gamma(\theta)' = (\lambda \cdot T((\frac{\beta}{\beta - \theta})^\alpha - 1))' = \frac{\alpha \cdot \lambda \cdot T \beta^\alpha}{(\beta - \theta)^{\alpha+1}}$$

$$\text{donc: } \Gamma(\theta)' = a \Leftrightarrow \frac{\alpha \cdot \lambda \cdot T \beta^\alpha}{(\beta - \theta)^{\alpha+1}} = x + cT \Leftrightarrow \frac{\alpha \cdot \lambda \cdot T \beta^\alpha}{x + cT} = (\beta - \theta)^{\alpha+1}$$

$$\Leftrightarrow \beta - \theta = (\frac{\alpha \cdot \lambda \cdot T \beta^\alpha}{x + cT})^{\frac{1}{\alpha+1}} = \beta (\frac{\alpha \cdot \lambda \cdot T}{\beta(x + cT)})^{\frac{1}{\alpha+1}}$$

$$\Leftrightarrow \theta = \beta - \beta \cdot (\frac{\alpha \cdot \lambda \cdot T}{\beta(x + cT)})^{\frac{1}{\alpha+1}}$$

$$\text{Donc: } \boxed{\theta = \beta - \beta \cdot (\frac{\alpha \cdot \lambda \cdot T}{\beta(x + cT)})^{\frac{1}{\alpha+1}}}$$

## Annexe 1

### Code Python :

```
87 #-----#
88 # Simulation Rt à queues fines :  $Z_k \rightarrow \text{Gamma}(\alpha, \beta)$  #
89 #-----#
90
91
92 def Rt_fines(x,c, $\lambda$ , $\alpha$ , $\beta$ ,t):
93
94     Nt=V_A_Poisson_Composee( $\lambda$ ,t)
95     Z=[]
96     for k in range(0,Nt):
97         Z.append(V_A_Gamma( $\alpha$ , $\beta$ ))
98     return x+c*t-sum(Z)
99
100
101 def grapheRt_fines(x,c, $\lambda$ , $\alpha$ , $\beta$ ):
102
103     t=np.linspace(0.,50.,100)
104     y=[Rt_fines(x,c, $\lambda$ , $\alpha$ , $\beta$ ,i) for i in t]
105     plot(t,y)
106     xlabel("temps t")
107     ylabel("la réserve de la compagnie d'assurance Rt")
108     title("Modèle de Lundberg-Cramer (à queues fines)")
109     show()
110
111
112
113 #-----#
114 # Simulation Rt à queues lourde :  $Z_k \rightarrow \text{Pareto}(a,b)$  #
115 #-----#
116
117 def Rt_lourde(x,c, $\lambda$ ,a,b,t):
118
119     Nt=V_A_Poisson_Composee( $\lambda$ ,t)
120     Z=[]
121     for k in range(0,Nt):
122         Z.append(V_A_Pareto(a,b))
123     return x+c*t-sum(Z)
124
125
126 def grapheRt_lourde(x,c, $\lambda$ ,a,b):
127
128     t=np.linspace(0.,50.,100)
129     y=[Rt_lourde(x,c, $\lambda$ ,a,b,i) for i in t]
130     plot(t,y)
131     xlabel("temps t")
132     ylabel("la réserve de la compagnie d'assurance Rt")
133     title("Modèle de Lundberg-Cramer (à queues lourde)")
134     show()
135
```

## Annexe 2

### Code Python :

```
137 #-----#
138 # Simulation XT et Probabilité de ruine (à queues fines) :  $Z_k \rightarrow \text{Gamma}(\alpha, \beta)$  #
139 #-----#
140
141 def V_A_X_fines( $\lambda, T, \alpha, \beta$ ):
142     NT=V_A_Poisson_Composee( $\lambda, T$ )
143     Z=[]
144     for k in range(0,NT):
145         Z.append(V_A_Gamma( $\alpha, \beta$ ))
146     return sum(Z)
147
148 def Proba_ruine_fines(c, x, T,  $\lambda, \alpha, \beta, Nmc$ ):
149     a=x+c*T
150     counter=0
151     for n in range(1,Nmc+1):
152         X=V_A_X_fines( $\lambda, T, \alpha, \beta$ )
153         if X>a:
154             counter=counter+1
155     return counter/Nmc
156
157 #-----#
158 # Simulation XT et Probabilité de ruine (à queues lourde) :  $Z_k \rightarrow \text{Pareto}(a, b)$  #
159 #-----#
160
161 def V_A_X_lourde( $\lambda, T, a, b$ ):
162     NT=V_A_Poisson_Composee( $\lambda, T$ )
163     Z=[]
164     for k in range(0,NT):
165         Z.append(V_A_Pareto(a,b))
166     return sum(Z)
167
168 def Proba_ruine_lourde(c, x, T,  $\lambda, a, b, Nmc$ ):
169     a=x+c*T
170     counter=0
171     for n in range(1,Nmc+1):
172         X=V_A_X_lourde( $\lambda, T, a, b$ )
173         if X>a:
174             counter=counter+1
175     return counter/Nmc
176
```

## Annexe 3

### Code Python :

```
178 #-----#
179 # Estimation de l'instant de la ruine Tx (à queues fines) : Zk -> Gamma( $\alpha,\beta$ ) #
180 #-----#
181
182 def Tx_fines(x,c, $\lambda,\alpha,\beta$ ,delta):
183     t=0
184     while Rt_fines(x,c, $\lambda,\alpha,\beta$ ,t)>0:
185         t=t+delta
186     return t
187
188 #-----#
189 # Estimation de l'instant de la ruine Tx (à queues fines) : Zk -> Pareto(a,b) #
190 #-----#
191
192 def Tx_lourde(x,c, $\lambda,a,b$ ,delta):
193     t=0
194     while Rt_lourde(x,c, $\lambda,a,b$ ,t)>0:
195         t=t+delta
196     return t
197
198
```

## Annexe 4

### Code Python :

```
199 #-----#
200 # Simulation Importance Sampling : Zk_Q -> Gamma( $\alpha, \beta - \theta$ ) #
201 #-----#
202
203
204 def V_A_X_Q(c, x,  $\lambda$ , T,  $\alpha$ ,  $\beta$ ):
205      $\theta = \beta - \beta * \text{pow}((\beta * (x + c * T)) / (\alpha * \lambda * T), -1 / (\alpha + 1))$ 
206      $\lambda Q = \lambda * \text{pow}(\beta / (\beta - \theta), \alpha)$ 
207     NT = V_A_Poisson_Composee( $\lambda Q$ , T)
208     Z = []
209     for k in range(0, NT):
210         Z.append(V_A_Gamma( $\alpha$ ,  $\beta - \theta$ ))
211     return sum(Z)
212
213
214 def Proba_ruine_Q(c, x, T,  $\lambda$ ,  $\alpha$ ,  $\beta$ , Nmc):
215      $\theta = \beta - \beta * \text{pow}((\beta * (x + c * T)) / (\alpha * \lambda * T), -1 / (\alpha + 1))$ 
216      $\Gamma\theta = \lambda * T * (\text{pow}(\beta / (\beta - \theta), \alpha) - 1)$ 
217     a = x + c * T
218     counter = 0
219     for n in range(1, Nmc + 1):
220         X = V_A_X_Q(c, x,  $\lambda$ , T,  $\alpha$ ,  $\beta$ )
221         if X > a:
222             counter = counter + exp(- $\theta * X + \Gamma\theta$ )
223     return counter / Nmc
```